

ФИЗИКА ЭЛЕМЕНТАРНЫХ ЧАСТИЦ И ТЕОРИЯ ПОЛЯ

УДК 537.8

А.С. КОНЬКОВ, А.П. ПОТЫЛИЦЫН, В.А. СЕРДЮЦКИЙ

ИНТЕРФЕРЕНЦИЯ ПОЛЕЙ ПЕРЕХОДНОГО ИЗЛУЧЕНИЯ ЭЛЕКТРИЧЕСКОГО ЗАРЯДА И МАГНИТНОГО МОМЕНТА¹

Проанализированы условия возникновения интерференции полей переходного излучения электрического заряда и магнитного момента. Проведён расчёт вклада в полный выход переходного излучения системы заряд – магнитный момент, зависящего от ориентации магнитного момента для случая выхода частицы из титановой мишени в вакуум для энергии фотонов 454 эВ. Сделана оценка возможности использования рассмотренного эффекта для создания поляриметра нового типа.

Ключевые слова: переходное излучение, магнитный момент, электрический заряд, интерференция, асимметрия излучения, поляриметр.

Анализ спиновых состояний электронного пучка до сих пор представляет собой сложную экспериментальную задачу. В основном, для этих целей используется процесс рассеяния электронов в кулоновском поле ядра (поляриметры Мотта) [1, 2]. В результате спин-орбитального взаимодействия эффективное сечение рассеяния под заданным углом для электронов с противоположными спинами оказывается различным. Возникающая лево-правая асимметрия рассеяния $A_{л.п}$ используется для измерения поляризации пучка электронов в интервале энергий примерно до 1 МэВ. Экспериментально поляризация пучка определяется из соотношения

$$P_0 = A_{л.п} / S_{\text{eff}}, \quad (1)$$

где S_{eff} – анализирующая способность процесса моттовского рассеяния, которая вычисляется теоретически с достаточной точностью.

Следует отметить, что основным недостатком всех моттовских поляриметров является ограниченный диапазон энергий электронных пучков (10 эВ – 1 МэВ). На сегодняшний день во многих экспериментах в физике высоких энергий используются пучки умеренно релятивистских поляризованных электронов и позитронов с энергией до 10 МэВ, для анализа которых используется меллеровский поляриметр [3], который также обладает невысокой эффективностью в указанном энергетическом диапазоне. Поэтому весьма перспективным является поиск новых физических механизмов для создания более эффективных поляриметров, основанных на регистрации асимметрии в электромагнитном излучении поляризованных частиц.

Представляется, что возможность создания поляриметров, основанных на детектировании электромагнитного излучения системы заряд + спин (заряд + магнитный момент в классическом рассмотрении), расширит экспериментальные возможности и позволит рассчитывать анализирующую способность процесса, опираясь на хорошо разработанные методы квантовой (классической) электродинамики, с любой требуемой точностью.

В квазиклассическом приближении будем рассматривать переходное излучение (ПИ) поляризованных электронов (позитронов) как излучение точечного заряда и спинового магнитного момента электрона.

Для определения явного вида интерференционного слагаемого и условий его существования рассмотрим геометрию, показанную на рис. 1, когда частица с зарядом e , обладающая собственным магнитным моментом m , со скоростью $v = \beta c$ выходит из среды с диэлектрической проницаемостью ϵ в вакуум ($\epsilon = 1$) через наклонную границу раздела.

В системе координат, в которой ось z направлена вдоль перпендикуляра к границе раздела, а ось y расположена в плоскости, проходящей через этот перпендикуляр и скорость частицы [4],

¹ Работа выполнена при поддержке ФЦП Министерства образования и науки РФ «Научные и научно-педагогические кадры инновационной России» на 2009–2013 гг., в рамках реализации мероприятия № 1.3.1 (ГК № П1199, Шифр «НК-653П»).

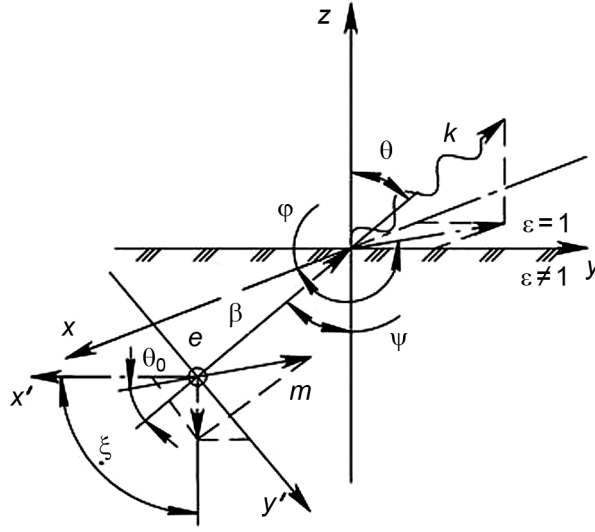


Рис. 1. Схема генерации ПИ заряженной частицей, обладающей собственным магнитным моментом

компоненты вектора Герца для магнитного момента и электрического заряда, полученные по методу изображений (согласно [5]), записываются в виде

$$\mathbf{\Pi}_{\omega p}^m = \frac{ice_z \exp\left(i\frac{\omega}{c}R\right)(1-\varepsilon)n_z}{\pi\omega^2 R(\varepsilon n_z + \sigma)(1-n_z^2)} \times \left[\frac{B_z(1-n_z^2)[(1-\beta_y n_y)^2 - \beta_z^2 - \beta_z \sigma(1-\beta_y n_y)] + (B_x n_x + B_y n_y)[\beta_z^2 n_z^2 \sigma + \beta_z(1-\beta_y n_y)(1-n_z^2)]}{[(1-\beta_y n_y)^2 - \beta_z^2 n_z^2](1-\beta_y n_y - \beta_z \sigma)} \right]; \quad (2)$$

$$\mathbf{\Pi}_{\omega n}^m = -\frac{ic\beta_z^2 \exp\left(i\frac{\omega}{c}R\right)(1-\varepsilon)n_z}{\pi\omega^2 R(n_z + \sigma)(1-n_z^2)} \left[\frac{\mathbf{e}_x B_x(1-n_z^2) + \mathbf{e}_y B_y(1-n_z^2) + \mathbf{e}_z (B_x n_x + B_y n_y)n_z}{[(1-\beta_y n_y)^2 - \beta_z^2 n_z^2](1-\beta_y n_y - \beta_z \sigma)} \right]; \quad (3)$$

$$\mathbf{\Pi}_{\omega p}^e = \frac{ev_z \mathbf{e}_z \exp\left(i\frac{\omega}{c}R\right)(1-\varepsilon)n_z}{\pi\omega^2 R(\varepsilon n_z + \sigma)(1-n_z^2)} \left[\frac{(1-n_z^2)[1-\beta_y n_y - \beta_z^2 - \beta_z \sigma] + \beta_z \beta_y n_y \sigma}{[(1-\beta_y n_y)^2 - \beta_z^2 n_z^2](1-\beta_y n_y - \beta_z \sigma)} \right]; \quad (4)$$

$$\mathbf{\Pi}_{\omega n}^e = \frac{ev_y \beta_z^2 \exp\left(i\frac{\omega}{c}R\right)(1-\varepsilon)n_z}{\pi\omega^2 R(n_z + \sigma)(1-n_z^2)} \left[\frac{\mathbf{e}_y(1-n_z^2) + \mathbf{e}_z n_y n_z}{[(1-\beta_y n_y)^2 - \beta_z^2 n_z^2](1-\beta_y n_y - \beta_z \sigma)} \right]; \quad (5)$$

где \mathbf{e}_i – орты; $\sigma = \sqrt{\varepsilon - (1-n_z^2)}$; $\chi_x = \frac{\omega}{v}n_x$; $\chi_y = \frac{\omega}{v}n_y$; $\beta = 1 - \frac{\gamma^{-2}}{2}$, γ – лоренц-фактор;

$$B_x = \gamma^{-1} \left(\chi_y m_z - \gamma^{-1} \frac{\omega}{v} m_y \right),$$

$$B_z = (\chi_x m_y - \chi_y m_x) \cos \psi - \gamma^{-1} \left(\gamma^{-1} \frac{\omega}{v} m_x - \chi_x m_z \right) \sin \psi, \quad (6)$$

$$B_y = \gamma^{-1} \left(\gamma^{-1} \frac{\omega}{v} m_x - \chi_x m_z \right) \cos \psi + (\chi_x m_y - \chi_y m_x) \sin \psi.$$

Величины, соответствующие волнам, поляризованным в плоскости падения, будем отмечать символом p (parallel), а величины, соответствующие волнам, поляризованным в перпендикулярной плоскости, – n (normal).

Выражения (2) – (5) записываются через проекции единичного волнового вектора

$$\mathbf{n} = \frac{k\mathbf{c}}{\omega} = \{n_x, n_y, n_z\} = \{\cos\theta_x, \cos\theta_y, \cos\theta_z\} = \{\sin\theta\cos\varphi, \sin\theta\sin\varphi, \cos\theta\} \quad (7)$$

и вектора $\boldsymbol{\beta} = \{0, \beta_y, \beta_z\} = \beta\{0, \sin\psi, \cos\psi\}$.

Проекции вектора магнитного момента можно расписать через полярный θ_0 и азимутальный ξ углы в собственной системе координат магнитного момента:

$$\begin{aligned} m_x &= |\mathbf{m}| \cdot \sin\theta_0 \cdot \cos\xi, \\ m_y &= |\mathbf{m}| \cdot \sin\theta_0 \cdot \sin\xi, \\ m_z &= |\mathbf{m}| \cdot \cos\theta_0. \end{aligned} \quad (8)$$

Ось z' системы K' (система покоя магнитного момента) совпадает по направлению с вектором $\boldsymbol{\beta}$. Таким образом, система K' повернута относительно системы K (система, связанная с мишенью) на угол ψ (см. рис. 1).

Предполагая, что ε – комплексная величина, полные векторы Герца будем искать в виде

$$\mathbf{\Pi}_\omega = \left[\mathbf{n} \times (\mathbf{\Pi}_{\omega p} + \mathbf{\Pi}_{\omega n}) \right] = A(\varepsilon) \cdot (\mathbf{P}'_\omega + i\mathbf{P}''_\omega). \quad (9)$$

Выделяя общий комплексный множитель $A(\varepsilon)$, действительную (с единичным штрихом) и мнимую (с двойным штрихом) части в полных векторах Герца, находим

$$A(\varepsilon) = \frac{c \exp\left(i\frac{\omega}{c}R\right)(1-\varepsilon)n_z}{\pi\omega^2 R(n_z + \sigma)(\varepsilon n_z + \sigma)(1-n_z^2)[(1-\beta_y n_y)^2 - \beta_z^2 n_z^2](1-\beta_y n_y - \beta_z \sigma)}; \quad (10)$$

$$\mathbf{P}'_\omega = e\beta_z(1-n_z^2) \left[\mathbf{e}_x(\beta_z\beta_y n_z \tau'_1 + n_y \tau'_2) - \mathbf{e}_y n_x \tau'_2 - \mathbf{e}_z \beta_z \beta_y n_x \tau'_1 \right], \quad (11)$$

$$\mathbf{P}''_\omega = e\beta_z(1-n_z^2) \left[\mathbf{e}_x(\beta_z\beta_y n_z \tau''_1 + n_y \tau''_2) - \mathbf{e}_y n_x \tau''_2 - \mathbf{e}_z \beta_z \beta_y n_x \tau''_1 \right];$$

$$\begin{aligned} \mathbf{P}'_\omega = & \mathbf{e}_x(\beta_z^2 n_z [n_y(B_x n_x + B_y n_y) - (1-n_z^2)B_y] \tau''_1 - n_y \tau''_3) + \\ & + \mathbf{e}_y(\beta_z^2 n_z [(1-n_z^2)B_x - n_x(B_x n_x + B_y n_y)] \tau''_1 + n_x \tau''_3) - \mathbf{e}_z \beta_z^2 (1-n_z^2)(B_x n_y - B_y n_x) \tau''_1, \end{aligned} \quad (12)$$

$$\begin{aligned} \mathbf{P}''_\omega = & \mathbf{e}_x(n_y \tau'_3 - \beta_z^2 n_z [n_y(B_x n_x + B_y n_y) - (1-n_z^2)B_y] \tau'_1) - \\ & - \mathbf{e}_y(\beta_z^2 n_z [(1-n_z^2)B_x - n_x(B_x n_x + B_y n_y)] \tau'_1 + n_x \tau'_3) + \mathbf{e}_z \beta_z^2 (1-n_z^2)(B_x n_y - B_y n_x) \tau'_1. \end{aligned}$$

Для упрощения записи в выражения (11) и (12) введены комплексные величины τ_i :

$$\begin{aligned} \tau_1 &= \varepsilon n_z + \sigma, \quad \tau_2 = (n_z + \sigma) \left[(1-\beta_y n_y)(1-\beta_z \sigma) - \beta_z^2 - \beta_z \beta_y n_z n_y \right], \\ \tau_3 &= (n_z + \sigma) \left[B_z(1-n_z^2)((1-\beta_y n_y)^2 - \beta_z^2 - \beta_z(1-\beta_y n_y)\sigma) + \right. \\ & \left. + (B_x n_x + B_y n_y)(\beta_z^2 n_z^2 \sigma + \beta_z(1-\beta_y n_y)(1-n_z^2)) \right]. \end{aligned} \quad (13)$$

Из (9) – (12) можно получить спектрально-угловое распределение переходного излучения системы заряд – магнитный момент, используя соотношение

$$\frac{dW}{d\omega d\Omega} = \frac{\omega^4 R^2}{c^3} |A(\varepsilon)|^2 \left| \mathbf{P}'_\omega + i\mathbf{P}''_\omega + \mathbf{P}'_\omega + i\mathbf{P}''_\omega \right|^2 = \frac{dW_{e+m}}{d\omega d\Omega} \left(1 + \sum_i m_i F_i \right). \quad (14)$$

Последнее слагаемое в (14), линейное по компонентам магнитного момента m_i , возникает благодаря интерференции полей ПИ от заряда и магнитного момента.

Следующим справедливым упрощением будет приближение нормального падения $\{\beta_y = 0, \beta_z = \beta, n_z = \cos\theta\}$ в случае ультрарелятивистских энергий $\gamma \gg 1$.

На существование интерференционного слагаемого большое влияние оказывает ориентация магнитного момента. Так, при продольной ориентации магнитного момента относительно вектора скорости ($\theta_0 = 0^\circ$, см. (8)) интерференции не происходит, т.е. $F_z = 0$, и полная интенсивность ПИ системы складывается из интенсивностей собственно заряда и магнитного момента:

$$\frac{dW}{d\omega d\Omega} = \frac{\omega^4 R^2}{c^3} |A(\varepsilon)|^2 [P_\omega^{e2} + P_\omega^{ne2} + P_\omega^{m2} + P_\omega^{nm2}] = \quad (15)$$

$$= \frac{e^2 \beta_z^2 |1 - \varepsilon|^2 n_z^2 |1 - \beta_z \sigma - \beta_z^2|^2 (1 - n_z^2)}{\pi^2 c [1 - \beta_z^2]^2 |(\varepsilon n_z + \sigma)(1 - \beta_z \sigma)|^2} + \frac{m^2 \omega^2 \gamma^{-2} \beta_z^4 |1 - \varepsilon|^2 n_z^2 (1 - n_z^2)}{\pi^2 c v^2 [1 - \beta_z^2]^2 |(n_z + \sigma)(1 - \beta_z \sigma)|^2}.$$

Отметим, что для нейтральной частицы ($e = 0$) в ультрарелятивистском пределе ($\gamma \gg 1$, $\theta^2 \ll 1$), полагая $1 - \varepsilon \approx \frac{\omega_p^2}{\omega^2} \ll 1$, формула (15) совпадает с результатами работ [6, 7], описывающих спектрально-угловое распределение ПИ магнитного момента:

$$\frac{d^2 W_m}{d\omega d\Omega} = \frac{\gamma^{-2} m^2 \omega_{p1}^4}{\pi^2 c^3 \omega^2} \times \frac{\theta^2}{(\theta^2 + \gamma^{-2} + \omega_{p1}^2 / \omega^2)^2 (\theta^2 + \gamma^{-2})^2}. \quad (16)$$

Для поперечной ориентации магнитного момента присутствует интерференционный вклад. При этом следует различать ситуации, когда магнитный момент расположен в плоскости (проходящей через импульс электрона и нормаль к поверхности мишени) падения ($\xi = 90^\circ$) или же ортогонален ей ($\xi = 0^\circ$). Далее ограничимся рассмотрением лишь поперечной ориентации магнитного момента относительно плоскости падения ($\theta_0 = 90^\circ$, $\xi = 0^\circ$) в плоскости, задаваемой уравнением $n_x = 0$ ($n_y = \sin \theta$, $n_z = \cos \theta$). В рассматриваемой плоскости остаётся вклад от компоненты F_x ($m_y = m_z = 0$).

Следует отметить, что рассмотрение случая $\theta_0 = 90^\circ$, $\xi = 90^\circ$ необходимо проводить в плоскости $n_y = 0$. Спектрально-угловые распределения в данном случае можно получить из предыдущих выражений путём формальной замены $n_y \rightarrow -n_x$.

Следовательно, спектрально-угловое распределение ПИ от системы заряд – магнитный момент с учётом интерференционного слагаемого имеет следующий вид:

$$\frac{d^2 W_{e+m}}{d\omega d\Omega} = \frac{e^2 \beta^2 |1 - \varepsilon|^2 \cos^2 \theta |1 - \beta \sigma - \beta^2|^2 \sin^2 \theta}{\pi^2 c [1 - \beta^2 \cos^2 \theta]^2 |(\varepsilon \cos \theta + \sigma)(1 - \beta \sigma)|^2} + \quad (17)$$

$$+ \frac{m^2 \omega^2 |1 - \varepsilon|^2 |\gamma^{-2} \beta [\beta \sigma \cos^2 \theta + \sin^2 \theta] - \sin^2 \theta [1 - \beta^2 - \beta \sigma]|^2 \cos^2 \theta}{\pi^2 c v^2 \sin^2 \theta [1 - \beta^2 \cos^2 \theta]^2 |(\varepsilon \cos \theta + \sigma)(1 - \beta \omega)|^2};$$

$$F_x = 2 \frac{P_\omega^{ie} P_\omega^{im} + P_\omega^{ne} P_\omega^{nm}}{P_\omega^{e2} + P_\omega^{ne2} + P_\omega^{m2} + P_\omega^{nm2}} = \frac{2e\beta\omega}{v} \frac{\tau_2'' \tau_4' - \tau_2' \tau_4''}{e^2 \beta^2 \sin^2 \theta |\tau_2|^2 + \left(\frac{m\omega}{v}\right)^2 |\tau_4|^2}. \quad (18)$$

В выражении (18) τ_2 определяется из выражения (13) при $\psi = 0^\circ$, а τ_4 – согласно соотношению

$$\tau_4 = (\cos \theta + \sigma) \left\{ \gamma^{-2} \beta [\beta \sigma \cos^2 \theta + \sin^2 \theta] - \sin^2 \theta [1 - \beta^2 - \beta \sigma] \right\}. \quad (19)$$

Для частицы с зарядом e и магнитным моментом $m_B = 9,27 \cdot 10^{-24}$ Дж/Тл относительный вклад интерференционного слагаемого в интенсивность излучения характеризуется следующим образом:

$$\frac{d^2 W_m}{d\omega d\Omega} / \frac{d^2 W_e}{d\omega d\Omega} \sim \left(\frac{m\omega}{ev}\right)^2 = \left(\frac{\hbar\omega}{2\beta m_e c^2}\right)^2; \quad (20)$$

$$m_x F_x \sim \frac{m\omega}{ev} = \frac{e\hbar c}{2m_e c^2} \frac{\omega}{ev} = \frac{\hbar\omega}{2\beta m_e c^2}, \quad (21)$$

где m_e – масса электрона.

Таким образом, вкладом магнитного момента в полную интенсивность ПИ можно пренебречь, поскольку для различных значений энергии фотонов ПИ и лоренц-фактора ($\gamma \geq 10$) вклад магнитного момента не превышает $10^{-5} - 10^{-6}$.

Из выражения (18) вытекает, что интерференция полей излучения заряда и магнитного момента возможна лишь в том случае, когда векторы Герца для поля излучения заряда и магнитного момента имеют как действительную, так и мнимую части. Таким образом, диэлектрическая проницаемость среды должна быть комплексной величиной $\varepsilon = \varepsilon' + i\varepsilon''$. В противном случае векторы Герца для заряда являются действительными, а для магнитного момента – чисто мнимыми, что остаётся справедливым для случая идеального проводника.

В рентгеновском диапазоне частот диэлектрическая проницаемость среды вблизи частот, соответствующих краям поглощения, описывается следующим выражением [8]:

$$\varepsilon(\omega) = \left[1 - \left(\frac{\hbar\omega_p}{\hbar\omega} \right)^2 \frac{1}{2Z} (f'(\omega) + if''(\omega)) \right]^2 = 1 - \delta(\omega) + i\eta(\omega), \quad (22)$$

где $f'(\omega) + if''(\omega)$ – аномальный фактор; ω_p – частота плазмона материала мишени, которая определяется концентрацией электронов n_e в материале мишени:

$$\omega_p = \sqrt{4\pi n_e r_0 c^2} = \sqrt{4\pi \frac{Z}{A} N_0 \rho r_0 c^2}. \quad (23)$$

Здесь r_0 – классический радиус электрона; Z , A – заряд и атомная масса атомов мишени; N_0 – число Авогадро; ρ – плотность.

При учёте вышеупомянутых упрощений из формул (17) и (18) получим

$$\frac{d^2 W_e}{d\omega d\Omega} = \frac{e^2}{\pi^2 c} \frac{\theta^2}{(\gamma^{-2} + \theta^2)^2} \left| \frac{\delta - i\eta}{\gamma^{-2} + \theta^2 + \delta - i\eta} \right|^2; \quad (24)$$

$$F_x = \frac{\omega}{2ve} \frac{\theta\eta(\gamma^{-2} + \theta^2)}{\left[e^2\theta^2 + \left(\frac{m\omega}{v} \right)^2 (\gamma^{-2} + \theta^2)^2 \right] |1 - (\delta - i\eta)|^2}. \quad (25)$$

Выражение (25) наглядно демонстрирует влияние вида диэлектрической проницаемости на интерференционное слагаемое, а именно:

- 1) если ε – действительное число, то $\eta = 0$, следовательно, интерференции нет ($F_x = 0$);
- 2) случай идеального проводника, т.е. при $\eta \rightarrow \infty$: $F_x \rightarrow 0$, а спектрально-угловое распределение ПИ для заряда переходит в формулу Гинзбурга – Франка [5, 6]

$$\frac{d^2 W_e}{d\omega d\Omega} = \frac{e^2}{\pi^2 c} \frac{\theta^2}{(\gamma^{-2} + \theta^2)^2}. \quad (26)$$

Оценим вклад от интерференции для случая, когда частица с зарядом e и магнитным моментом $m = \frac{e\hbar c}{2m_e c^2}$ выходит из титановой мишени в вакуум. На рис. 2 показано поведение реальной и

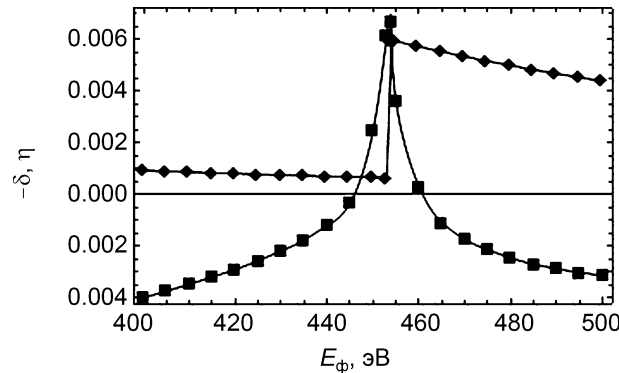


Рис. 2. Зависимость реальной ($-\delta$) и мнимой (η) частей диэлектрической проницаемости титана в области L -поглощения (454 эВ). Как реальная (\blacksquare), так и мнимая (\blacklozenge) части при энергии фотонов $E_\phi = 454$ эВ претерпевают резкий скачок

мнимой частей диэлектрической проницаемости T_i [8, 9] в области интересующего нас края L (454 эВ) поглощения. При энергии фотонов 454 эВ происходит резкое увеличение реальной и мнимой части ϵ .

На рис. 3 приведены спектрально-угловые распределения ПИ заряда и интерференционного члена для направления «вперёд» (формулы (24), (25)).

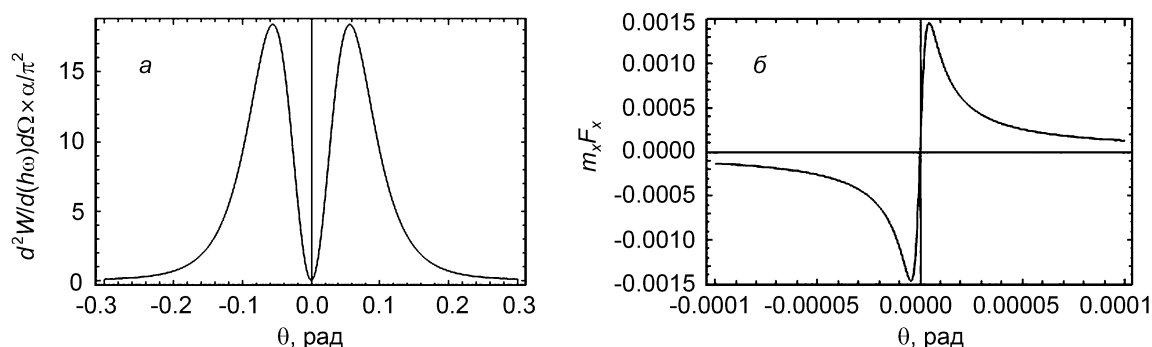


Рис. 3. Спектрально-угловое распределение переходного излучения от системы электрический заряд + магнитный момент для $\gamma = 10$: *a* – суммарное спектрально-угловое распределение переходного излучения от электрического заряда и магнитного момента; *б* – относительный вклад от интерференционного слагаемого

Как следует из рис. 3, асимметрия ПИ является знакопеременной величиной, меняющейся в узком угловом интервале.

По абсолютной величине асимметрия процесса $|m_x F_x| \sim 10^{-3}$, что на порядок меньше, чем в моттовском поляриметре, однако вероятность переходного излучения в мягком рентгеновском диапазоне на несколько порядков превышает вероятность моттовского рассеяния, что, в конечном счёте, может привести к сопоставимым значениям эффективной анализирующей способности

$$\left(\frac{d\sigma_{\text{ПИ}}}{d\Omega} \right)^2 m_x F_x \text{ предлагаемого поляриметра.}$$

СПИСОК ЛИТЕРАТУРЫ

1. Gay T.J. and Dunning F.B. // Rev. Sci. Instrum. – 1992. – V. 63. – P. 1635.
2. Петров В.Н., Галактионов М.С., Камочкин А.С. // ЖТФ. – 2001. – Т. 71. – С. 79.
3. Arrington J. et al. // NIMA. – 1992. – V. 311. – P. 39.
4. Потылицын А.П. // Изв. вузов. Физика. – 2001. – № 3. – С. 93–104.
5. Пафомов В.Е. // Труды ФИАН. – 1969. – Т. XLIV. – С. 28.
6. Гинзбург В.Л., Цитович В.Л., Переходное излучение и переходное рассеяние. – М.: Наука, 1984.
7. Sakuda M. // Phys. Rev. Lett. – 1994. – V. 72. – P. 804.
8. Henke B.L., Gullikson E.M., and Davis J.C. // At. Data Nucl. Tables. – 1993. – V. 54. – P. 181.
9. Knulst W., van der Wiel M.J., and Luiten O.J. // Appl. Phys. Lett. – 2003. – V. 83. – P. 4050.

Национальный исследовательский
Томский политехнический университет, г. Томск, Россия
E-mail: pap@interact.phtd.tpu.edu.ru

Поступила в редакцию 20.04.11.

Коньков Анатолий Сергеевич, инженер-проектировщик каф. прикладной физики;
Потылицын Александр Петрович, д.ф.-м.н., профессор, зав. каф. прикладной физики;
Сердюцкий Виталий Андреевич, к.ф.-м.н., доцент, преподаватель каф. прикладной физики.